

**УДК: 591.044;577.3**

**ГРНТИ 29.01**

**LCC QC 170-197**

**Влияние коллективного информационного поля на структуру воды**

*Коваленко В.Ф.*

*Херсонский национальный технический университет*

**УДК: 591.044;577.3**

**LCC QC 170-197**

**Influence of collective information field on structure of water**

*Kovalenko V.F.*

*Kherson national technical university*

*Аннотация*

*С помощью метода рассеяния лазерного излучения изучена временная зависимость структурных свойств воды за период 2007-2016 годы. Образцы воды для измерений отбирались из одного и того же артезианского колодца на территории Киево- Печерской Лавры.*

*Установлена корреляция этой зависимости с психологическим аспектом политических событий в Украине за данный период. Изменение структуры воды связывается с влиянием коллективного информационного поля, сформированного большим количеством людей, участвующих в событиях в Киеве. Характер изменений структуры воды определялся содержанием их мыслей и эмоций.*

*Ключевые слова: вода, кластеры, индикатриса рассеяния, информационное поле, торсионный солитон.*

*Abstract*

*It was conducted checking of structural properties of water by method of light scattering of laser radiation within period 2007-2016 years. The samples of water for measurements choosed from one and the same artesian well in territory of Kiev Pechersk Lavra.*

*The correlation of this dependence with psychological aspect of political occurrences in Ukraine for given period was established. Change of the structure water is connected with influence of collective information field. This field was created by many people, that participated in occurrences at Kiev. Character of change structure water was formed by contents their thoughts and emotions.*

*Keywords: water, clusters, scattering indicatrix, information field, torsional soliton.*

**Введение.** Известно [1-3], что вода обладает кластерной структурой, которую она изменяет под влиянием различных энергетических и информационных воздействий. В измененной структуре фиксируется информация о соответствующем воздействии, формируя таким образом память воды. Физическим носителям этой памяти является спиново-ориентированная конфигурация атомов кислорода кластеров [4].

К настоящему времени исследовано адресное (направленное) индивидуальное информационное воздействия на структурные параметры воды [5,6]. В данной работе приведены результаты влияния на структуру воды коллективного психологического фактора, осуществляемого длительный период времени(2007-2016 годы).

**Методика эксперимента.** С помощью метода рассеяния лазерного излучения осуществлялись разнопериодические измерения угловых зависимостей интенсивности рассеянного света  $I(\theta)$  - индикатрис рассеяния исследуемых образцов (далее-проб) воды. Испытуемые образцы воды отбирались из одного и того же источника – артезианского колодца святого Антония Киево-Печерской Лавры. Зависимости  $I(\theta)$  измерялись в передней полуплоскости по направлению распространения падающего луча в интервале углов рассеяния  $4^0 \leq \theta \leq 70^0$  с шагом  $2^0$ . В качестве источника излучения использовался полупроводниковый лазер с  $\lambda \approx 0,65$  мкм, диаметром луча 3 мм и мощностью излучения  $P < 1$  мВт (лазерная указка) [7].

Из измеренных индикатрис определялись набор (ансамбль) и размеры кластеров, их относительные концентрации. Ансамбль и размеры кластеров с радиусами  $r \leq 2$  мкм определялись по угловым положениям максимумов на расчетных зависимостях

$$\Theta^2 \cdot I(\Theta) = f(\Theta) \quad (1)$$

рассмотренным в [7] способом. Размеры кластеров с  $r > 2$  мкм оценивались по величинам углового интервала между периодическими флуктуациями интенсивности рассеянного света на кривых  $I(\Theta)$  и (1) в интервале углов  $20^\circ \leq \Theta \leq 60^\circ$ , обусловленными интерференцией дифрагированных на кластерах и преломленных ими лучей [8]. Степень изменения суммарной концентрации кластеров всех размеров в каждой испытываемой пробе в процессе эксперимента оценивалась по отношению интегральной интенсивности рассеянного света очередной пробы  $I_{n\Sigma}$  к значению  $I_{1\Sigma}$  первой пробы воды, соответствующей началу отсчета времени и принятой равной  $I_{1\Sigma} = 100\%$ . Величина интегральной интенсивности  $I_\Sigma$ , численно равная площади под кривой  $I(\Theta)$  с учетом зависимости эффективности рассеяния от размеров кластеров, близких к дифракционному пределу  $r_{min} \approx \lambda/4$  и в предположении однократного рассеяния, может быть представлена в виде [5,7]:

$$I_\Sigma = \sum_i \beta N_i r_i J V, \quad (2)$$

где  $\beta$  – коэффициент, учитывающий угловую апертуру фотоприемника и его спектральную чувствительность,  $N_i r_i$  – концентрация и радиус кластеров  $i$ -го типа,  $J$  – интенсивность падающего светового потока,  $V$  – объем освещаемой воды,  $i$  – номер типа (размера) кластеров.

В настоящей работе множители  $\beta$ ,  $J$ ,  $V$  в (2) оставались постоянными в течение всего эксперимента. Изменение размеров некоторых средних и мелких кластеров не превышало ошибки измерения и не вносило заметного вклада в значение  $I_\Sigma$ . Наблюдаемые изменения размеров сверхкрупных кластеров в процессе эксперимента также не влияли на  $I_\Sigma$  из-за наиболее низкой концентрации их во всем ансамбле.

Совокупность приведенных аргументов дает основание полагать, что изменение во времени интегральной интенсивности рассеянного света в

испытуемых пробах обусловлено, в основном, изменением суммарной концентрации кластеров  $N_{\Sigma} \approx \sum_i N_i$ .

Изменения концентрации кластеров отдельных типов определялись по расчетным относительным индикатрисам рассеяния  $R(\Theta)$  для каждого акта измерения, представляющих собой отношение каждой очередной индикатрисы рассеяния  $I_n(\Theta)$  к начальной индикатрисе  $I_1(\Theta)$ :

$$R_n(\Theta) = \frac{I_n(\Theta)}{I_1(\Theta)}. \quad (3)$$

Использование относительных индикатрис (3) дает возможность одновременно устанавливать по числовому значению  $R(\Theta)$  в соответствующем угловом секторе направление и степень изменения концентрации рассеивающих в этом секторе кластеров.

**Экспериментальные результаты.** Индикатрисы рассеяния всех исследованных проб воды в течение всего периода эксперимента представляли собой убывающие функции с увеличением угла рассеяния (рис.1). Согласно [7], рассеивающими центрами являются кластеры – микрокристаллы льда, присутствующие в жидкой фазе воды во всем температурном интервале ее существования, наличие и параметры которых определяют структурные свойства воды.

Наблюдаемая форма кривых  $I(\Theta)$  в малоугловой области ( $\Theta \leq 10^0$ ) обуславливается дифракцией падающего света на (условно) крупномасштабных (далее – крупных) кластерах с радиусом  $0,9 \text{ мкм} < r \leq 2,0 \text{ мкм}$ ; в угловом секторе  $10^0 < \Theta < 30^0$  – дифракцией на среднемасштабных (далее – средних) кластерах ( $0,4 \text{ мкм} < r \leq 0,9 \text{ мкм}$ ); в интервале углов  $\Theta > 30^0$  – рассеянием на мелко-масштабных (далее – мелких) кластерах с  $r \leq 0,4 \text{ мкм}$  частично за счет дифракции, а также за счет отражения, роль которого возрастает с увеличением угла рассеяния  $\Theta$  [9,10]. Присутствие на кривых  $I(\Theta)$ , расчетных кривых (1) и (3) небольших периодических флуктуаций в угловом интервале  $20^0 < \Theta < 60^0$  свидетельствует о наличии в воде незначительной концентрации кластеров с  $r > 2 \text{ мкм}$ .

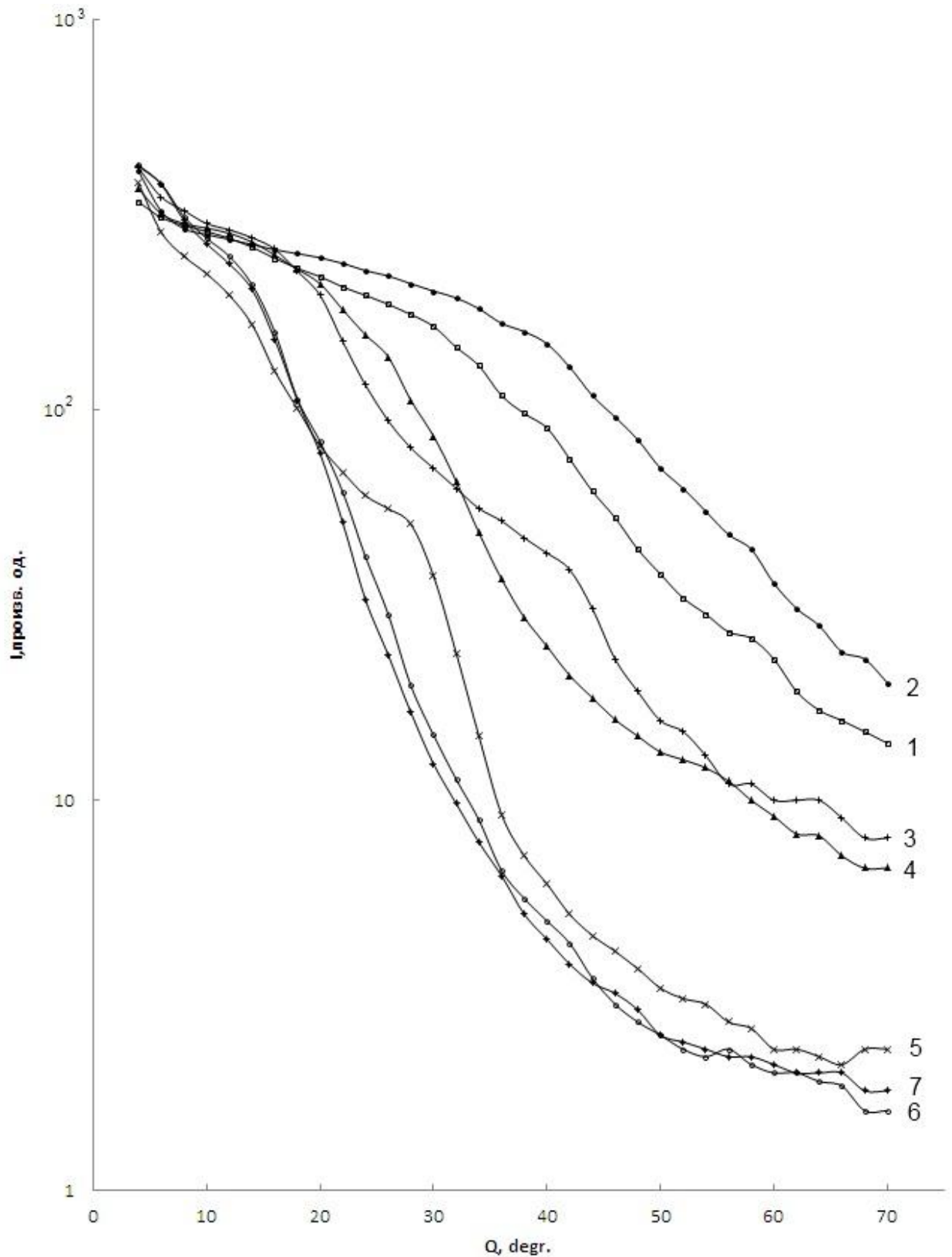


Рис.1. Индикатрисы рассеяния проб воды, измеренные на протяжении всего периода эксперимента. Номера кривых I ( $\Theta$ ) соответствуют датам измерения, приведенным в таблице.

На рис.2 представлены относительные индикатрисы рассеяния  $R(\Theta)$  кривых 1-7 рис.1, а в таблице – ансамбли и размеры кластеров, а также относительные интегральные интенсивности рассеянного света  $I_{\Sigma}$  %, пропорциональные суммарным концентрациям  $N_{\Sigma}$  соответствующих проб воды.

Из приведенных данных видно, что с течением времени параметры структуры претерпевали существенные изменения. В первой половине периода наблюдения происходило возрастание суммарной концентрации кластеров, которая в 2011 г. составляла  $N_{\Sigma} = 147\%$ . Значение  $R_2 > 1$  в угловом интервале рассеяния  $\Theta > 15^\circ$  (рис.2, кр.2) и характер этой кривой указывают на то, что увеличение  $N_{\Sigma}$  происходило, в основном, за счет генерации мелких и средних кластеров. Наличие широкого максимума на кривой  $R_2(\Theta)$  при  $\Theta \approx 50^\circ$  свидетельствует о том, что в структуре воды концентрация мелких кластеров с  $r \approx 0,20$  мкм возрастала наиболее существенно. Ансамбль и размеры кластеров различных типов в данный период практически не изменялись (таблица).

Измерение, проведенное в канун 2013 года, обнаружило заметное уменьшение суммарной концентрации кластеров до  $N_{\Sigma} = 64\%$  (таблица). Характер кривой  $R_3(\Theta)$  (рис 2. кр.3) и значение  $R_3 < 1$  в угловом интервале  $\Theta > 15^\circ$  свидетельствуют о том, что снижение  $N_{\Sigma}$  произошло из-за уменьшения концентрации, в основном, мелких кластеров и в меньшей мере – средних. Ансамбль и размеры кластеров при этом практически не изменялись. Исключение составляло незначительное уменьшение разброса размеров сверхкрупных кластеров.

Изменения параметров структуры пробы, измеренной в начале 2014 года (рис. 1 и 2, кривые 4), состояли в снижении суммарной концентрации кластеров до  $N_{\Sigma} = 59,5\%$ , уменьшении размеров сверхкрупных кластеров, а также в появлении в ансамбле средних кластеров с  $r \approx 0,63$  мкм вместо исчезнувших крупных с  $r \approx 0,95$  мкм (таблица). Уменьшение  $N_{\Sigma}$  обусловлено снижением концентрации преимущественно мелких кластеров ( $R_4 < 1$  в угловом интервале  $\Theta > 20^\circ$ , рис. 2, кр.4), а изменения размеров и набора кластеров связаны, по-

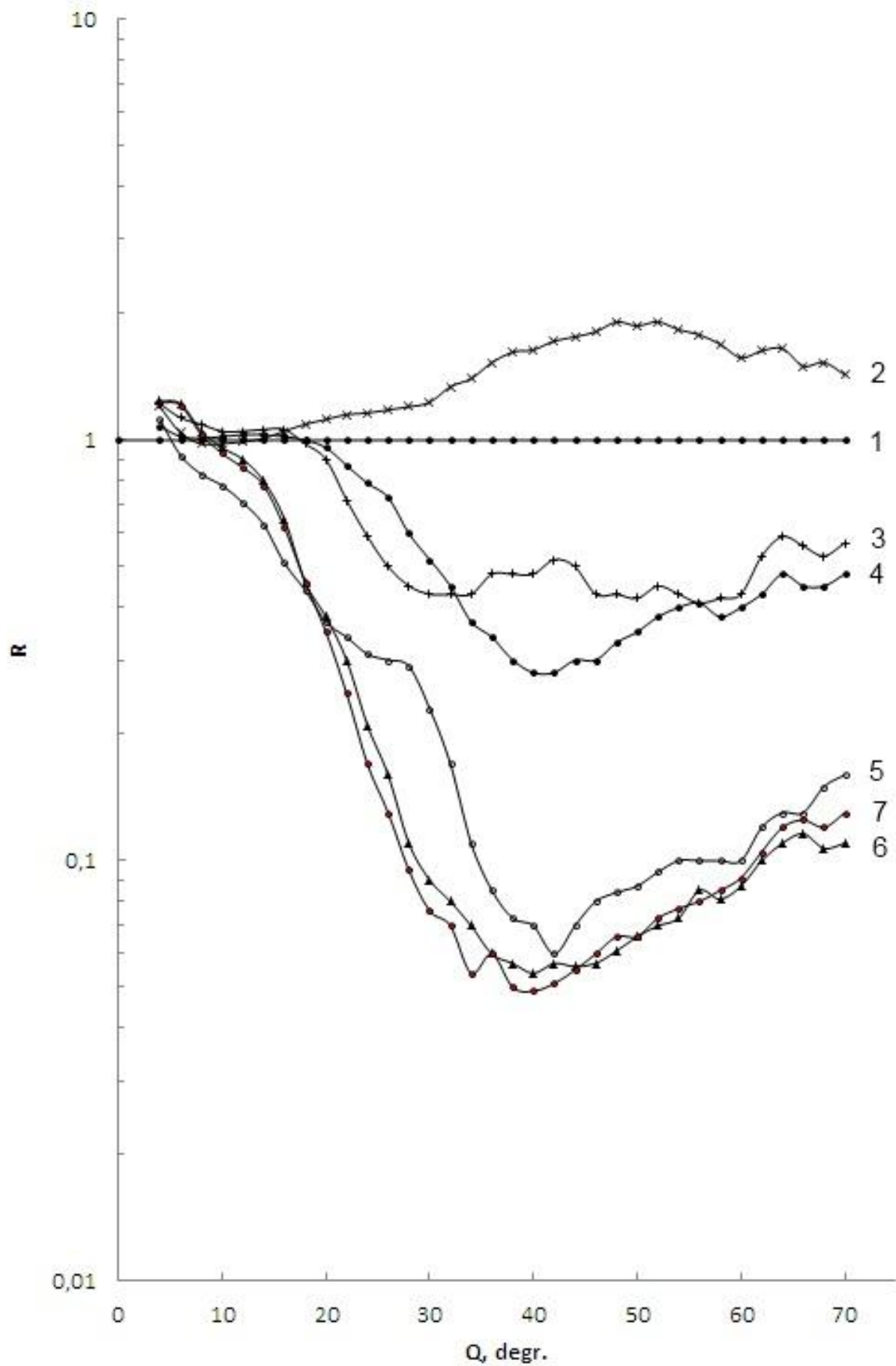


Рис.2. Относительные индикатрисы рассеяния  $R(\Theta)$  кривых 1-7, представленных на рис.1.

**Параметры светорассеяния проб воды**

№ п/п	Дата измерения	г, мкм	I <sub>Σ</sub> , произв.ед	I <sub>Σ</sub> , %
1.	09.02.2007	4,5-6,7↓; 0,95; 0,48; ≤0,40	27730	100
2.	18.02.2011	4,5-6,7↓; 0,95; 0,48; ≤0,40	40900	147,5
3.	15.12.2012	4,5-5,2; 0,95; 0,50; ≤0,40	17747	64
4.	09.01.2014	3,1; 0,63; 0,48; ≤0,40	16500	59,5
5.	17.08.2014	5,4-6,7; 0,68; ≤0,36↓	8320	30
6.	10.04.2016	3,5-4,5↓; 0,63; 0,48	8236	29,5
7.	09.05.2016	3,3↓↓; 0,63; 0,48	7985	28,7

*Примечания:* 1. Стрелки ↓ у радиусов кластеров некоторых типов указывают на крайне малые их концентрации.

2. Символ ≤ у радиусов мелких кластеров указывает на содержание в ансамбле кластеров, имеющих меньшие размеры, чем приведенные в таблице. Недостаточное угловое разрешение на больших углах рассеяния не позволяет установить конкретные значения их размеров.

видимому, с частичным приповерхностным разрушением сверхкрупных и крупных кластеров.

В пробе воды, измеренной осенью 2014 года, имело место уменьшение суммарной концентрации кластеров до  $N_{\Sigma}=30\%$  за счет резкого снижения концентрации мелких кластеров с  $r \leq 0,36$  мкм, исчезновение из ансамбля средних кластеров с  $r \approx 0,48$  мкм, а также возрастание размеров сверхкрупных кластеров (рис. 1 и 2, кривые 5; таблица).



Данные измерения двух проб воды весной 2016 года, проведенные с интервалом в 1 месяц, хорошо совпадали между собой и незначительно отличались от данных осени 2014 года. Эти изменения состояли в дальнейшем уменьшении концентрации кластеров всех размеров. Величина их суммарной концентрации составляла  $N_{\Sigma} < 30\%$ .

Следует отметить особенности формы представленных на рис. 2 относительных индикатрис рассеяния.

Кривые 4-7 имеют четко выраженный минимум в угловом секторе  $32^{\circ} < \Theta < 44^{\circ}$ , соответствующем наибольшему уменьшению концентрации мелких кластеров в интервале размеров  $0,30 \text{ мкм} \geq r \geq 0,22 \text{ мкм}$ .

С увеличением порядкового номера кривой происходили возрастание амплитуды минимума, его расширение и незначительное смещение «вершины» в сторону меньших углов рассеяния.

**Обсуждение результатов.** Наблюдаемое временное изменение структуры испытуемой воды не может быть связано с изменением ее химического состава, поскольку образцы воды в течение всего периода исследования брались из одного и того же артезианского колодца. Глубина залегания источника воды исключает загрязнение ее поверхностными дождевыми, сточными водами, другими загрязнителями различного происхождения. На протяжении всего эксперимента испытуемая вода, как в самом источнике, так и в кювете перед измерениями не подвергалась специально никаким энергетическим воздействиям электрического, магнитного, электромагнитного, акустического, механического и теплового характера, способных вызвать изменения ее структуры. Территориальная удаленность Лавры от промышленных объектов также исключает возможность того или иного энергетического воздействия последних на структуру испытуемой воды.

Учитывая экспериментально установленные высокую чувствительность структуры воды к информационным воздействиям и наличие памяти воды [4] есть веские основания утверждать, что причиной, вызвавшей приведенные выше изменения ее структуры, является коллективный психологический

фактор. Для обоснования этого утверждения ниже приведены ранее опубликованные некоторые результаты исследования направленного эмоционального воздействия в течение 5 минут на структуру воды [6].

На рис.3 представлены относительные индикатрисы рассеяния проб воды из того же источника после воздействия эмоцией любви и миру без предъявления к нему претензий (кр.1), эмоцией осуждения (кр.2) и эмоцией ненависти (кр.3). Из рисунка видно, что в первом случае происходило увеличение концентрации кластеров всех размеров, в наибольшей степени – мелких. Значение  $N_{\Sigma}$  возрастало до 144%. Во втором случае имело место, в основном, незначительное уменьшение концентрации мелких кластеров. Величина суммарной концентрации кластеров составляла  $N_{\Sigma} = 97\%$ . Эмоция ненависти вызывала существенное уменьшение концентрации мелких и средних кластеров ( $R < 1$  в угловом интервале  $\Theta > 15^\circ$ , рис.3, кр.3), а также формирование сверхкрупных кластеров. Значение  $N_{\Sigma}$  уменьшалось до 86%.

Согласно [6], изменение структуры воды обусловлено влиянием создаваемого соответствующим психологическим состоянием оператора волнового торсионного поля. Механизм такого влияния заключается в переориентации спинов четырехвалентных атомов кислорода кластеров воды, не соответствующих спиновой конфигурации торсионных волн. В первой ее фазе воздействующее поле вызывает поверхностное разрушение крупных и сверхкрупных кластеров и более значительное или полное разрушение мелких кластеров структуры, существующей до воздействия и стирания содержащейся в них прежней информации, а во второй – формирование новых кластеров со спиновой ориентацией атомов кислорода, входящих в их состав, соответствующей спиновой конфигурации воздействующих волн, осуществляя таким образом запись содержащейся в них информации в структуру воды. В наибольшей степени спиновой переструктуризации подвергаются мелкие кластеры из-за наименьшей их механической прочности [6].

Приведенные на рис.3 результаты коррелируют с рассмотренной в данной работе временной зависимостью структурных свойств воды, которая, в свою очередь, хорошо согласуется с эмоциональным аспектом политических

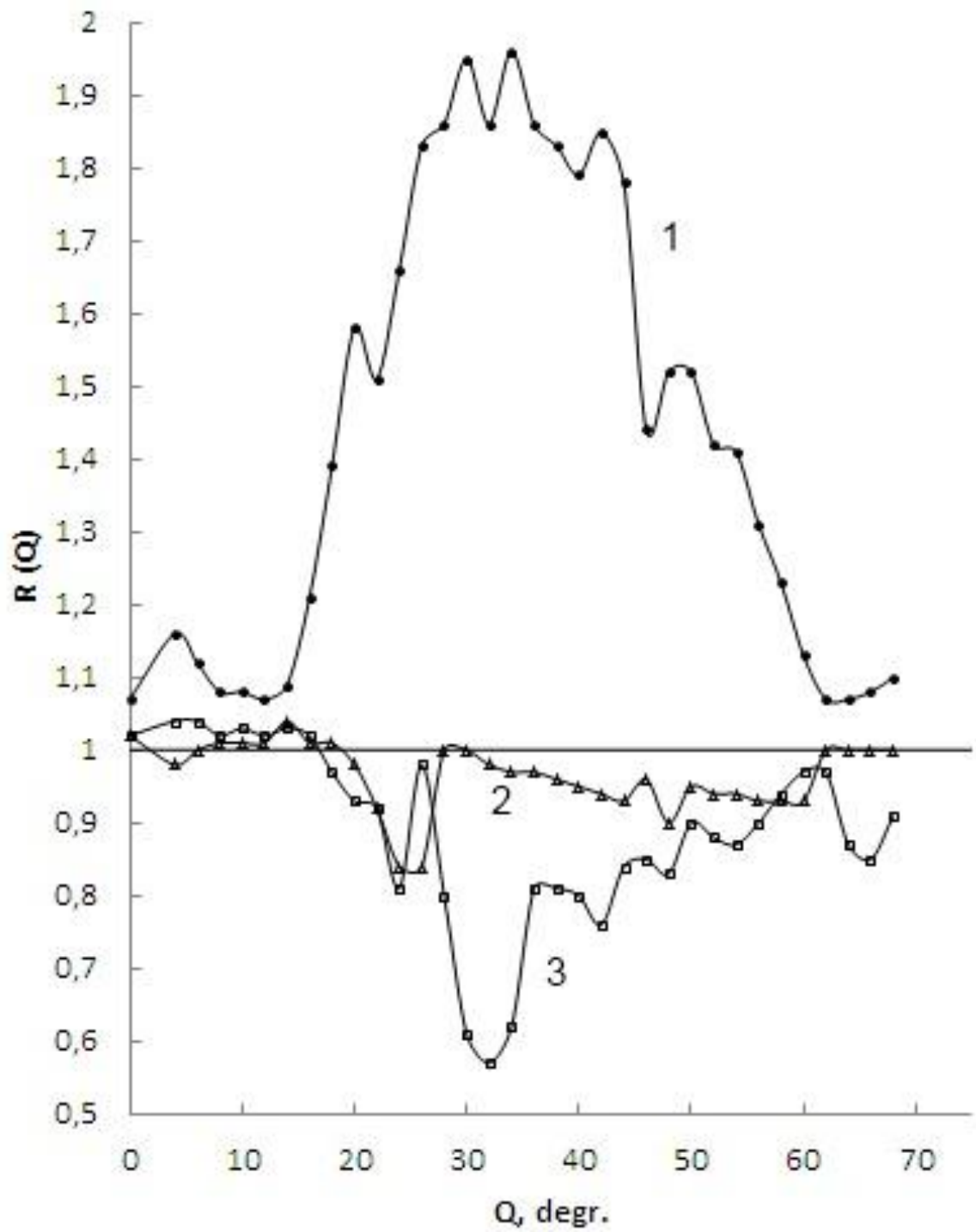


Рис.3. Относительные индикатрисы рассеяния проб воды после воздействия эмоциями Божественной любви (1), осуждения (2), ненависти (3) [6].

событий, происшедших в Украине в период 2007-2016 годов. Избрание нового президента в 2010 году породило у большинства людей надежды на положительные изменения в жизни страны. Эти надежды и ожидания сформировали позитивное коллективное торсионное информационное поле, что зафиксировалось в увеличении степени структурности воды (кр. 2 рис. 2 ~ кр. 1 рис. 3). Однако невнятный характер внешней политики руководства, ошибки во внутренней политике и экономике и другие факторы со временем начали вызывать у многих людей неудовлетворенность и осуждение, что постепенно изменяло общественное сознание с положительного на отрицательное. Такое изменение психологического состояния обусловило заметное уменьшение степени структурности воды (кр.3 и 4 рис. 2 ~ кр.2 рис. 3).

События 2014 года, особенно второй его половины, а также всего последующего отрезка времени породили у большого числа людей устойчивые эмоции ненависти, агрессивности, жестокости, страха, разочарования. Этот комплекс отрицательных эмоций, мыслей создал в пространстве стабильное негативное коллективное информационное поле, которое обусловило наивысшую степень деструктуризации воды (кр.5-7 рис.2 ~ кр.3 рис. 3). Следует отметить, что территориальная близость Лавры к центру событий способствовала усилению эффекта воздействия.

Качественное подобие кривых 5-7 рисунка 2 и кривой 3 рисунка 3 подтверждает достоверность заключения о причине деструктуризации.

Количественные отличия кривых 5-7 рис. 2 от кр. 3 рис.3 являются следствием гораздо более сильного, масштабного и продолжительного воздействия на воду коллективного информационного поля по сравнению к кратковременным индивидуальным. Так, более глубокий и широкий минимум кривых 5-7 рис. 2 обусловлен практически полным разрушением мелких кластеров различных размеров, значительным уменьшением концентрации средних кластеров. Расширение минимума в малоугловую область и последовательное уменьшение амплитуд, количества и регулярности интерференционных флуктуаций  $R(\Theta)$  с увеличением порядкового номера

кривых 5-7 указывает на постепенную деструкцию все более крупномасштабных кластеров, в том числе и сверхкрупных.

Механизм создания коллективного информационного поля и воздействие его на структуру воды и психику человека может быть объяснен с позиции концепции фитонной модели физического вакуума [11,12]. Согласно этой модели, физический вакуум рассматривается как вихревая полевая среда, изотропно заполняющая все пространство (и свободное пространство, и вещество), имеющая квантовую структуру и ненаблюдаемая в невозмущенном состоянии. Квантом (квантовым вихрем) этой структуры является фитон, предполагаемая модель которого представляет собой систему из вложенных друг в друга кольцевых волновых пакетов электрона и позитрона, вращающихся в противоположных направлениях. Каждый из этих пакетов определяется как правый и левый спин. В невозмущенном вакууме они скомпенсированы и суммарный момент вращения каждого фитона равен нулю.

Перед дальнейшим обсуждением представляется целесообразным привести определение термина «торсионное поле» и указать один из его источников. Согласно [11,12], мысли, эмоции человека являются источником собственного волнового торсионного поля. Указанные аспекты человеческой психики могут быть представлены в виде устойчивых полевых образований – различных (в зависимости от характера информационного и эмоционального содержания) пространственных спиновых конфигураций – торсионных солитонов, излучаемых человеком [11,12]. Последние вызывают спиновую поляризацию физического вакуума, состоящую в следующем. Спины волновых пакетов фитонов, которые совпадают с ориентацией спинов торсионного солитона, сохраняют свою прежнюю ориентацию. Спины волновых пакетов фитонов, не совпадающие с направлением спинов торсионного солитона, под действием последнего испытывают переориентацию, в результате чего их пространственная конфигурация воспроизводит конфигурацию торсионного солитона и сохраняется в физическом вакууме.

Между излучаемыми многими людьми торсионными солитонами подобного содержания возникает взаимное притяжение, свойственное

одноименным торсионным зарядам [13], формирующее коллективное информационное поле (эгрегор). Это поле, с одной стороны, продолжает подпитываться от людей, генерирующих подобные мысли и эмоции, с другой стороны, оно проникает в подсознание таких людей как за счет непосредственного взаимодействия с их собственными торсионными полями, так и вследствие воздействия на структуру воды их организмов подобно рассмотренному выше. Внедряясь в психику людей, эгрегор усиливает и закрепляет в ихнем подсознании соответствующее психологическое состояние.

Приведенные данные являются экспериментальным подтверждением представлений о существовании в информационном поле Земли мощных негативных программ разрушения и зла в виде эгрегоров, создаваемых соответствующими эмоциями, мыслями и действиями человечества на протяжении многих лет [14]. Такие программы, легко внедряясь в подсознание людей, нарушающих законы высшей этики, становятся программами уничтожения человека. Они разрушают его психическое здоровье (душу), а затем и физическое [14]. Механизм защиты от атак программ уничтожения представлен на рис.3 в графическом виде.

## Литература

1. Зенин С.В., Полануер Б.М., Тяглов Б.В. Экспериментальное доказательство наличия фракций воды. – Гомеопатическая медицина и акупунктура. 1997, №2, с.37-42.
2. Синицын Н.И., Петросян В.И., Елкин В.А., Девятов Н.Д., Гуляев Ю.В., Бецкий О.В. Особая роль системы «Миллиметровые волны – водная среда» в природе. – Биомедицинская радиоэлектроника, 1998, № 1, с.5-23.
3. Эмото Масару. Послания воды: тайные коды кристаллов льда. М., «София», 2005, 96 с.
4. Kovalenko Viktor Fedorovich/ Spin nature of wather memory. – Science Journal of Physics, Volume 2013; Article ID sjp-206, 11 pages, 2012. doi: 10.7237/sjp/206  
<http://www.sjpub.org/sjp.html>
5. Коваленко В.Ф. Информационное воздействие на структуру воды. – Биомедицинская инженерия и электроника, 2012, № 1.  
URL: [www.es.rae.ru/biofbe/182-805](http://www.es.rae.ru/biofbe/182-805)
6. Kovalenko Viktor Fedorovich. Analogy of memory properties of water and the ones of the brain. – Science Jurnal of Physics. Volume 2013. Article ID sjp-261, 8 pages. 2013, doi: 10.7237/sjp/261  
<http://www/sjpub.org/sjp.html>
7. Коваленко В.Ф., Левченко П.Г., Шутов С.В. Кластерная природа светорассеяния воды. – Биомедицинская радиоэлектроника 2008, №5, с. 36-45
8. Коваленко В.Ф., Шутов С.В., Бордюк А.Ю. Интерференционные эффекты в светорассеянии биологических жидкостей. – Биомедицинская радиоэлектроника 2009, №8, с. 71-78
9. Ван де Хюлст. Рассеяние света малыми частицами. 1961, ИЛ., 536с.
10. Безрукова А.Г., Владимирская И.К. Информативность параметров светорассеяния при исследовании клеток. – Цитология, 1982, т.27, №5, с.507-521
11. Акимов А. Е. Эвристическое обсуждение проблемы поиска новых дальнодействий. EGS-концепции. – Препринт МНТЦ ВЕНТ, №7А, М., 1991, 63 с.

12. Шипов Г.И. Теория физического вакуума. – НТ-Центр, М.,1993,365с.
13. Акимов А.Е., Шипов Г.И. Торсионные поля и их экспериментальные проявления. – Препринт №4, МИТПФ РАЕН, М., 1995,31с.
14. Лазарев С.Н. Диагностика кармы. Книга первая. Система полевой саморегуляции.- АО «Сфера», СПб., 1993, 160с.

#### Сведения об авторе

Коваленко Виктор Федорович: д.ф.-м.н., профессор кафедры информационно-измерительных технологий электроники и инженерии Херсонского национального технического университета. Адрес работы: 73008, Херсон, Бериславское шоссе, 24Б, ХНТУ.

e-mail: viktor.kovalenko.00@mail.ru

Научные интересы: структурно-информационные свойства воды, физика полупроводников.